

# ВЛАГОСОДЕРЖАЩИЕ ПИРАМИДАЛЬНЫЕ КОНСТРУКЦИИ ЭКРАНОВ ДЛЯ ОБЕСПЕЧЕНИЯ ЭКОЛОГИЧЕСКОЙ БЕЗОПАСНОСТИ В ПОМЕЩЕНИЯХ БЫТОВОГО И ПРОМЫШЛЕННОГО НАЗНАЧЕНИЯ

Я.Т.А. Аль-Адеми, Т.А. Пулко, Н.В. Насонова,  
БГУИР, г. Минск

Негативное влияние источников СВЧ-излучения на организм человека не только в промышленных, но и бытовых условиях требует пересмотра концепции универсальной защиты внутри помещения. Использование для экранирования ЭМИ-металлов вследствие высокой проводимости таких сред может привести к переизлучению электромагнитной энергии и ее проникновению в область за экраном, а также влиянию на сам источник ЭМИ и нарушению условий электромагнитной совместимости (ЭМС) электронного оборудования.

Существующий на данный момент перечень строительных материалов, эффективно экранирующих электромагнитное излучение широкого диапазона частот, ограничен. Такие строительные материалы как кирпич, бетон, шлакоблоки с добавлением кокса, обеспечивают эффективность экранирования от 10 до 20 дБ на каждые 30 см толщины.

Известен защитный экран в виде многослойной конструкции, который состоит из чередующихся слоев изоляционного материала и шунгита, измельченного на фракции от 6 нм до 15 нм. Тем не менее, эти способы недостаточно эффективны для защиты технических средств и человека, и не могут быть использованы в качестве строительных материалов для конструирования экранированных зданий и помещений [1]. Строительный материал на основе гипса с содержанием молотой массы компактированного вспененного графита из интеркалированных соединений графита в количестве от 5 до 50 мас.%, в расчете на сухую массу строительного материала, позволяет достичь защитного ослабления в микроволновом диапазоне длин волн [2]. При создании измерительных безэховых камер и экранированных помещений достаточно часто используется графит, который используется для изготовления цилиндров и конусов различных размеров, закрепляемых на стенах, полу и потолке [3]. Экранирование подобными конструкциями существенно ограничивает полезный объем внутри помещения [4], кроме того, немногие из них отвечают требованиям по технологичности, массогабаритным и эксплуатационным характеристикам, к тому же обладают высокой стоимостью.

На основании анализа эксплуатационных и экранирующих ЭМИ свойств материалов, обладающих свойствами поглощения электромагнитного излучения, для обеспечения защиты информации и электромагнитной безопасности в бытовых и служебных (производственных) помещениях предлагается использовать пирамидальные конструкции на основе гибких пористых полотен, заполненных специальными растворами, которые, в зависимости от исполнения, могут применяться в качестве отделочных панелей (для служебных, выделенных помещений) или самостоятель-

ной экранирующей конструкции (в бытовых условиях). Целью работы является разработка экранирующих ЭМИ конструкций на основе композиционных влагосодержащих материалов, сохраняющих заявленные характеристики независимо от условий эксплуатации, и исследование их экранирующих свойств (коэффициентов отражения и передачи) в диапазоне частот СВЧ.

Экспериментальные образцы экранирующих пирамидальных конструкций изготавливались из влагосодержащих трикотажных матриц ( $d \approx 1,6$  мм), на основе которых формировались пирамидальные элементы полые внутри, после чего они устанавливались на основании  $0,4 \times 0,4$  м<sup>2</sup>. Высота пирамидальных элементов составляла 0,08 м, что коррелирует с предполагаемыми рабочими длинами волн созданной конструкции. Для заполнения пирамидальных элементов конструкции использовались вода и специальный раствор, обладающие диэлектрическими потерями в исследуемом диапазоне частот. Влагосодержание полученных образцов композиционного материала составляло не менее 65 % mass. Для определения влияния пирамидальной поверхности конструкции на экранирующие характеристики были разработаны контрольные образцы композиционных материалов на основе тех же материалов, но с плоской поверхностью.

Измерения экранирующих характеристик проводились с помощью измерителя модуля коэффициентов передачи и отражения SNA 0.01-18 в диапазоне 0,7...17,0 ГГц. Полосы качания частоты измерителя: при измерении коэффициента отражения S11 - 0,5...3,0 ГГц и 2...18 ГГц, при измерении коэффициента передачи S21 - 0,01...3,0 ГГц и 2...18 ГГц. Количество частотных точек, в которых проводятся измерения, составляет 256 в каждом из указанных диапазонов. Результаты измерений (рисунок 1) показывают, что плоский влагосодержащий композиционный материал толщиной 1,6 мм обеспечивает коэффициент передачи -2,0...-10,0 дБ в диапазоне частот 0,7...6,0 ГГц и -12,0 дБ в диапазоне частот 7,0...17,0 ГГц, при коэффициенте отражения -8,0 дБ в исследуемом частотном диапазоне.

Ослабление энергии электромагнитного излучения происходит за счет высоких диэлектрических потерь воды в диапазоне СВЧ. Взаимодействие электрической компоненты электромагнитной волны с диполями молекул воды и с диссоциированными ионами компонентов раствора приводит к рассеянию энергии падающей ЭМВ в виде тепловых потерь за счет возникновения токов смещения и токов проводимости в локальных объемах водного раствора, объединенных в пространственную гидродисперсную структуру.

Пирамидальные конструкции экранов из влагосодержащих материалов обеспечивают коэффициент передачи

ЭМИ порядка -2,0...-22,0 дБ в диапазоне частот 0,7...3,0 ГГц и -6,0...-30,0 дБ в диапазоне частот 6,0...17,0 ГГц, при коэффициенте отражения -2,0...-28,0 дБ во всем исследуемом диапазоне частот (рисунок 1). Повышение общей эффективности экранирования ЭМИ обеспечивается за счет дополнительного рассеяния падающих электромагнитных волн и переотражения их между гранями пирамид. При этом доля энергии электромагнитных волн, распространяющихся в направлении источника существенно снижается и коэффициент отражения такой конструкции меньше по сравнению с экраном с плоской поверхностью, эффективность которого обеспечивается только за счет диэлектрических потерь водного раствора. Синтез водных растворов, компоненты которых подбираются, исходя из требований к эффективности экранирования и эксплуатационным характеристикам, позволяет еще больше снизить коэффициент передачи за счет появления дополнительных потерь на проводимость в полученном растворном наполнителе.

Для испытания на устойчивость эксплуатационных характеристик образцы пирамидальных конструкций подвергались заморозке при температуре морозильной камеры -18°С. Для получения термограммы исследуемых

образцов в пределах среднего и дальнего ИК-диапазонов использовался тепловизор MobIR M4 (разрешение 0,12°С), показывающий распределение температурных полей по поверхности образцов элементов конструкций в спектральном диапазоне 8...12 мкм. Показано, что экранирующие характеристики разработанных образцов не зависят от снижения температуры до -18°С благодаря понижению температуры замерзания за счет применения в качестве компонентов раствора солей щелочноземельных металлов.

Таким образом, пирамидальная конструкция влагосодержащих экранов позволяет повысить эффективность экранирования ЭМИ в частотном диапазоне 2,0...8,0 ГГц в среднем на 10,0 дБ по сравнению с плоским экраном независимо от температуры, что можно учесть при создании высокоэффективных экранов и поглотителей ЭМИ диапазона СВЧ.

В результате проведенных исследований предложены пирамидальная конструкция экрана ЭМИ на основе растворосодержащих материалов, позволяющая повысить эффективность экранирования ЭМИ в частотном диапазоне 2,0...8,0 ГГц в среднем на 10,0 дБ и снизить коэффициент отражения ЭМИ до -2,0...-28,0 дБ по сравнению с экраном

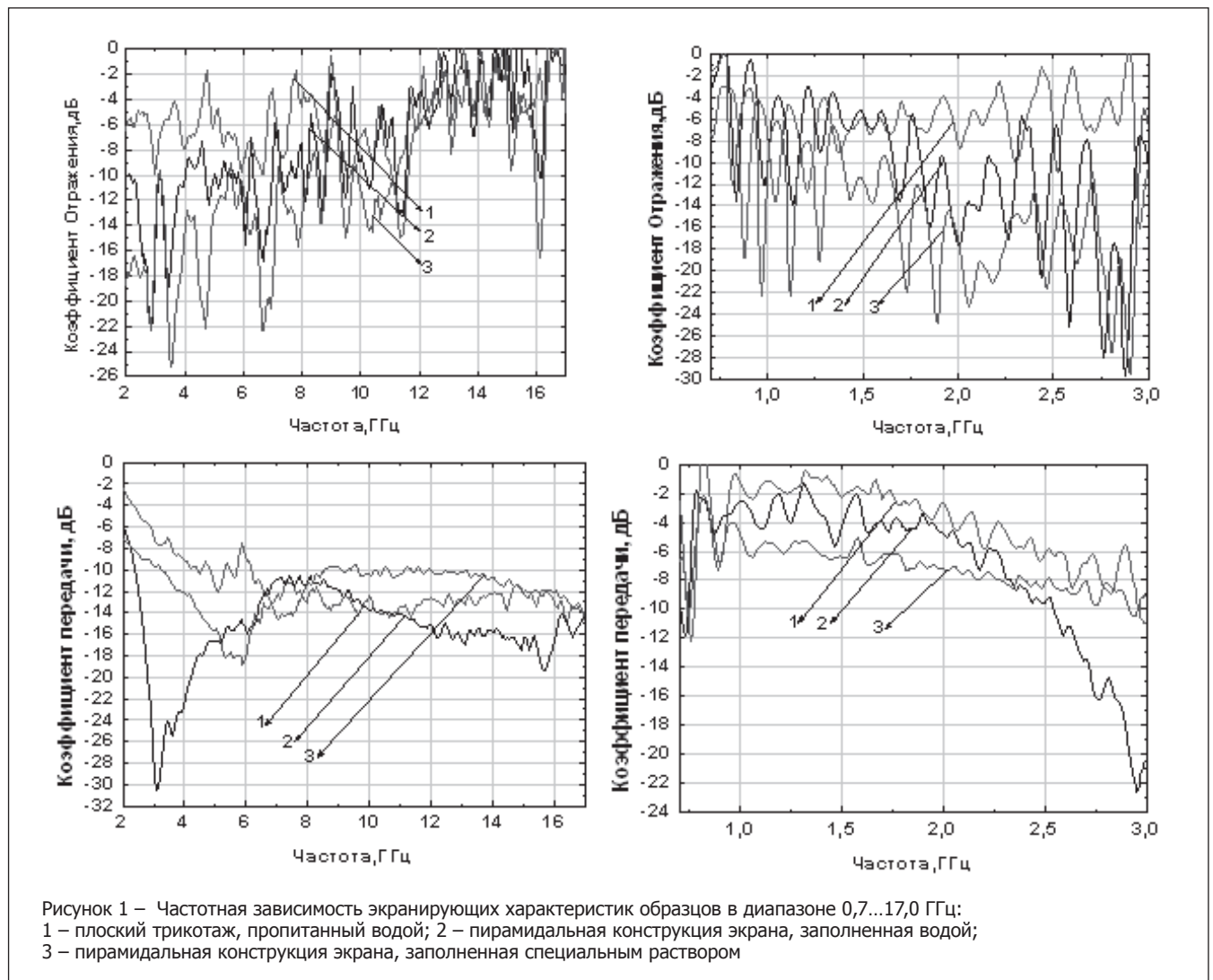


Рисунок 1 – Частотная зависимость экранирующих характеристик образцов в диапазоне 0,7...17,0 ГГц:  
 1 – плоский трикотаж, пропитанный водой; 2 – пирамидальная конструкция экрана, заполненная водой;  
 3 – пирамидальная конструкция экрана, заполненная специальным раствором

с плоской формой поверхности, что должно учитываться при создании высокоэффективных экранов и поглотителей ЭМИ диапазона СВЧ для электромагнитного экранирования СВЧ-источников и обеспечения экологической защиты обслуживающего персонала и пользователей ПК медицинских и промышленных установок, а также в бытовых условиях.

### Литература

1. Защитный экран от воздействия электромагнитного излучения и способ его изготовления: пат. №2234176 (RU), МПК Н 01 Q017/00 / Штогрин В.И., Швырев Ю.Н., Шатохин А.Н. и др.; Общество с ограниченной ответственностью Научно-техническое внедренческое предприятие «Гироконт» (RU) – №2234176/13; за-

явл.15.02.2010; опубл. 30.10.2010 // Афіційны бюл. / Нац. центр інтелектуал. уласнасці. – 2010. – №7. – С. 21.

2. Пат. 2405750 RU, МПК C04B28/14, C04B111/92. Строительные материалы на основе гипса с повышенной теплопроводностью и ослаблением при экранировании / Гуккерт Вернер, Шпиккерманн Винфрид, Бутц Хайнц-Йоахим, Дуквитц Стефан, Эльтинг Дитер / СГЛ Карбон АГ (DE), Ригипс ГМБХ (DE). – № 2006128334/03, заявл. 03.08.2006; опубл. 10.12.2010

3. Ю.К.Ковнеристый, И.Ю.Лазарева, А.А.Раваев. Материалы, поглощающие СВЧ-излучение. – М.: Наука, 1982. – С.85.

4. Я.А.Шнейдерман. – Зарубежная радиоэлектроника, 1972, №7. – 310 с.

## НОВОСТИ

# MICROCHIP ПРЕДСТАВЛЯЕТ ПЕРВЫЕ ПРОГРАММИРУЕМЫЕ USB2 HUB КОНТРОЛЛЕРЫ С ОДНОВРЕМЕННОЙ ПОДДЕРЖКОЙ USB2 И HSIC И РЕЖИМАМИ НИЗКОГО ЭНЕРГОПОТРЕБЛЕНИЯ

Ключевые особенности:

- используя семь новых микросхем, можно выполнить продвинутые зарядные устройства и мост для нескольких последовательных протоколов;
- совмещение интероперабельности, новых особенностей и большого времени жизни аккумулятора;
- ПК, мобильные устройства и мониторы можно сконфигурировать без внешней памяти.

В связи с тем, что компания SMSC вошла в состав Microchip Technology Inc., Microchip анонсирует о расширении линейки USB2 Controller Hub (UCH2). Семь новых, впервые в мире программируемых, USB2 контроллеров из трех семейств, позволяют разработчикам сконфигурировать их приложения, такие как ПК или мобильные устройства, без использования внешней памяти. Более того, это первые в ассортименте Microchip USB2 HUB контроллеры, совместимые с USB2 и USB High Speed Interchip (HSIC) одновременно, поддерживающие режимы энергосбережения, такие как Link Power Management (LPM) и возможность замены настенных зарядных устройств более продвинутыми режимами заряда аккумулятора, такими как BC1.2, Apple®, SE1 и China charging. Для приложений с потребностью в обращении по нескольким протоколам, USB2 HUB контроллеры могут образовывать направленный мост к интерфейсам: I2C™, SPI, UART и вх/вых выводы общего назначения. Для подстройки под различные ОС представленные новинки обладают набором гибких решений, таких как задаваемый потребителем обмен сообщениями и FlexConnect для упрощенной инверсии портов.

Не смотря на то, что рынок ПК переходит на USB3, большинство аналитиков прогнозируют, что USB2 будет преобладать в мобильных устройствах по крайней мере до 2015 года. Это означает, что перед разработчиками ПК и мобильных устройств становится задача совмещения USB3 и USB2, одновременно обеспечивая максимальное

время автономной работы. Все семь новых микросхем UCH2 содержат все необходимое для решения задач совместимости. И пока USB2 HUB контроллеры конкурентов могут предложить только ограниченный набор режимов заряда аккумулятора и требуют внешнюю память для конфигурации, новые UCH2 производства Microchip включают конфигурацию OTP Flash памяти «Quad Page», в которой зарезервировано место для совместимости и других настроек разработчика, включая четыре отдельные возможности конфигурирования. Вдобавок, Microchip представляет ProTouch Configuration Editor software tool, упрощающий создание настроек конфигурации и программирование OTP памяти.

The ProTouch Configuration Editor software tool можно скачать уже сегодня абсолютно бесплатно по ссылке: <http://www.microchip.com/get/2M4E>. Он идет в комплекте с программным обеспечением ProLink. Также уже доступна для покупки отладочная плата для USB2534 (EVB-USB2534), которая позволяет разрабатывать USB зарядные устройства, используя новое, состоящее из трех микросхем USB253X UCH2 семейство, для популярных USB2 приложений.

USB-IF сертифицированные микросхемы: USB2532-1080AEN, USB2533-1080AEN и USB2534-1080AEN – семейство UCH2 для USB приложений общего назначения. Заказ образцов и массовые продажи возможны уже сегодня в QFN корпусах с 36 выводами. Для построения HSIC совместимых и мостовых USB приложений семейство UCH2: USB4624-1080HN и USB4604-1080HN. Заказ образцов и массовые продажи доступны уже сегодня в QFN корпусах с 48 выводами. Для мобильных приложений же разработано семейство USC2: USB3813-1080XY и USB3613-1080XY. образцы доступны уже сегодня, начало массовых продаж ожидается в июле этого года. Выполнены микросхемы в LCSP с 30 выводами.